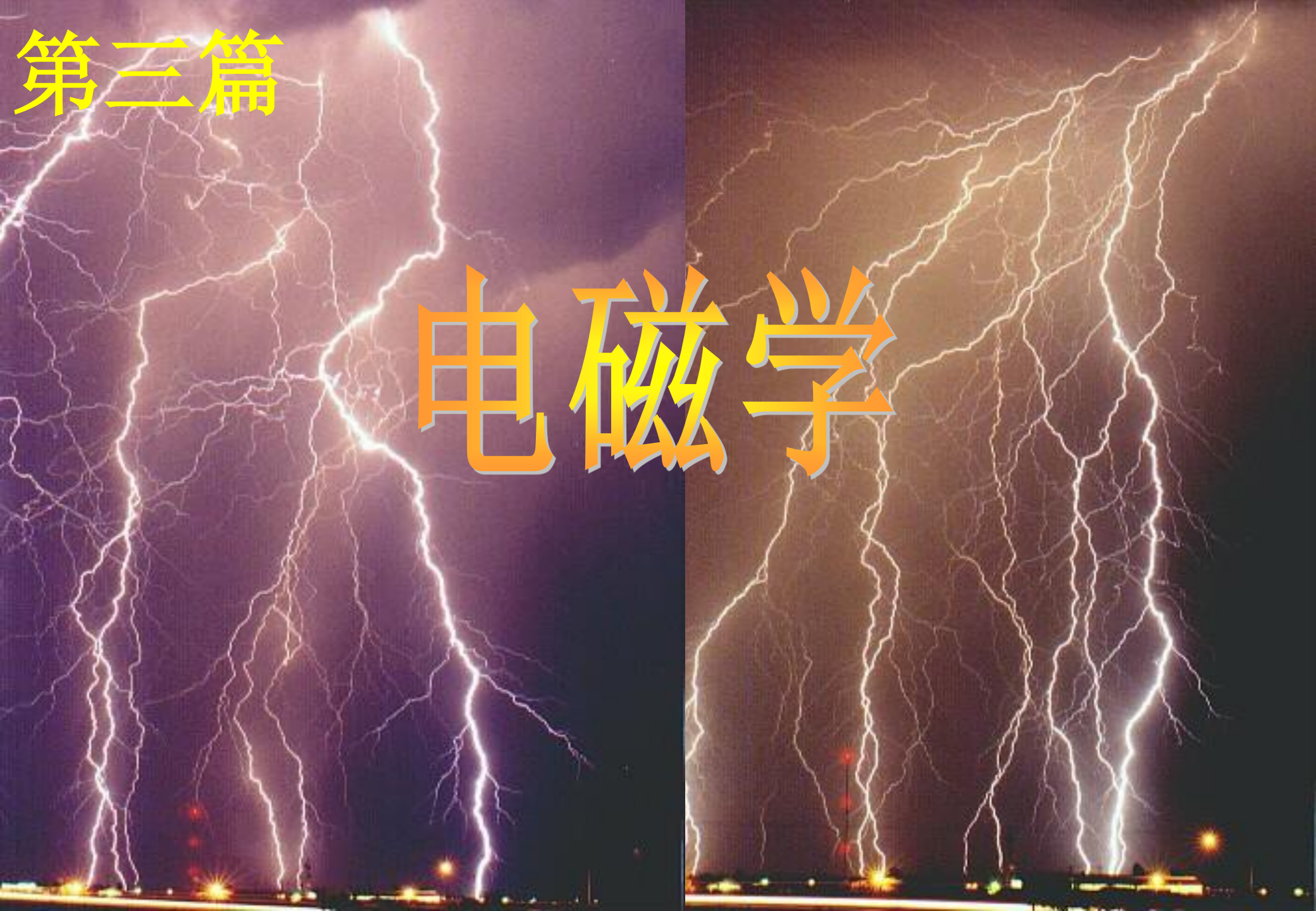


# 大学物理(下)

华中科技大学

张智

zzhang@hust.edu.cn



# 第三篇

# 电磁学

## ● 动生电动势

$$\mathcal{E}_i = \int_L (\vec{v} \times \vec{B}) \cdot d\vec{l}$$

$$\mathcal{E} = \int_{-}^{+} \vec{E}_K \cdot d\vec{l}$$

$d\vec{l}$  : 导线上任意选定的一小段 (足够短)  
 $\vec{v}$  : 以上这段导线的速度  
 $\vec{B}$  : 以上这段导线处的磁感应强度

## ● 感生电动势

$$\mathcal{E}_i = - \int \frac{\partial \vec{B}}{\partial t} \cdot d\vec{s} = \oint \vec{E}_i \cdot d\vec{l}$$

感应电场

$$\left\{ \begin{array}{l} \oint \vec{E}_i \cdot d\vec{s} = 0 \\ \oint \vec{E}_i \cdot d\vec{l} = - \int \frac{\partial \vec{B}}{\partial t} \cdot d\vec{s} \end{array} \right.$$

## ● 感应电场 $\vec{E}_i$

由于磁场随时间变化而产生的电场，无源、有旋。

## 2. 感应电场 —— 感应电场的存在得到了实验的验证。

由电动势的定义:  $\varepsilon_i = \int_{-}^{+} \vec{E}_K \cdot d\vec{l}$  (经电源内部)

对闭合回路:  $\varepsilon_i = \oint \vec{E}_K \cdot d\vec{l}$

感生电动势:  $\varepsilon_i = -\frac{d\phi}{dt} = -\frac{d}{dt} \int \vec{B} \cdot d\vec{s} = -\int \frac{\partial \vec{B}}{\partial t} \cdot d\vec{s}$

$\therefore \oint \vec{E}_K \cdot d\vec{l} = -\int \frac{\partial \vec{B}}{\partial t} \cdot d\vec{s}$  注:  $d\vec{l}$  与  $d\vec{s}$  成右手螺旋关系。

可见,  $\vec{E}_K$  与  $\vec{B}$  的变化有关。

$$\oint \vec{E}_i \cdot d\vec{l} = -\int \frac{\partial \vec{B}}{\partial t} \cdot d\vec{s}$$

由此, 麦克斯韦提出感应电场的概念。

磁场随时间变化的同时在周围空间产生电场,

此电场称为感应电场  $\vec{E}_i$ 。

它是由于磁场随时间变化而产生的电场。

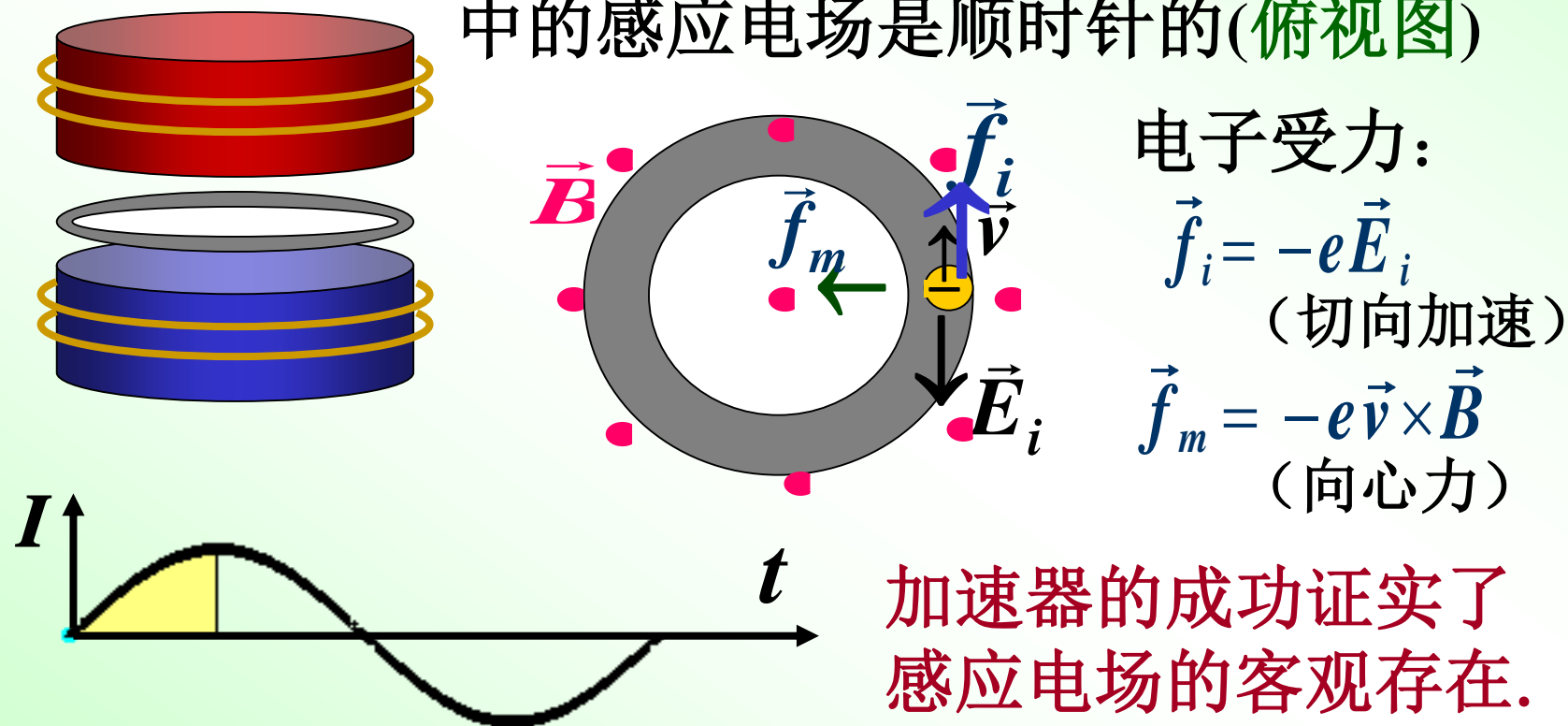


### 3. 感应电场的实验验证与应用

#### (1) 电子感应加速器

原理：用变化磁场所激发的感应电场来加速电子

交流电在前 1/4 周期时，假定管中的感应电场是顺时针的(俯视图)

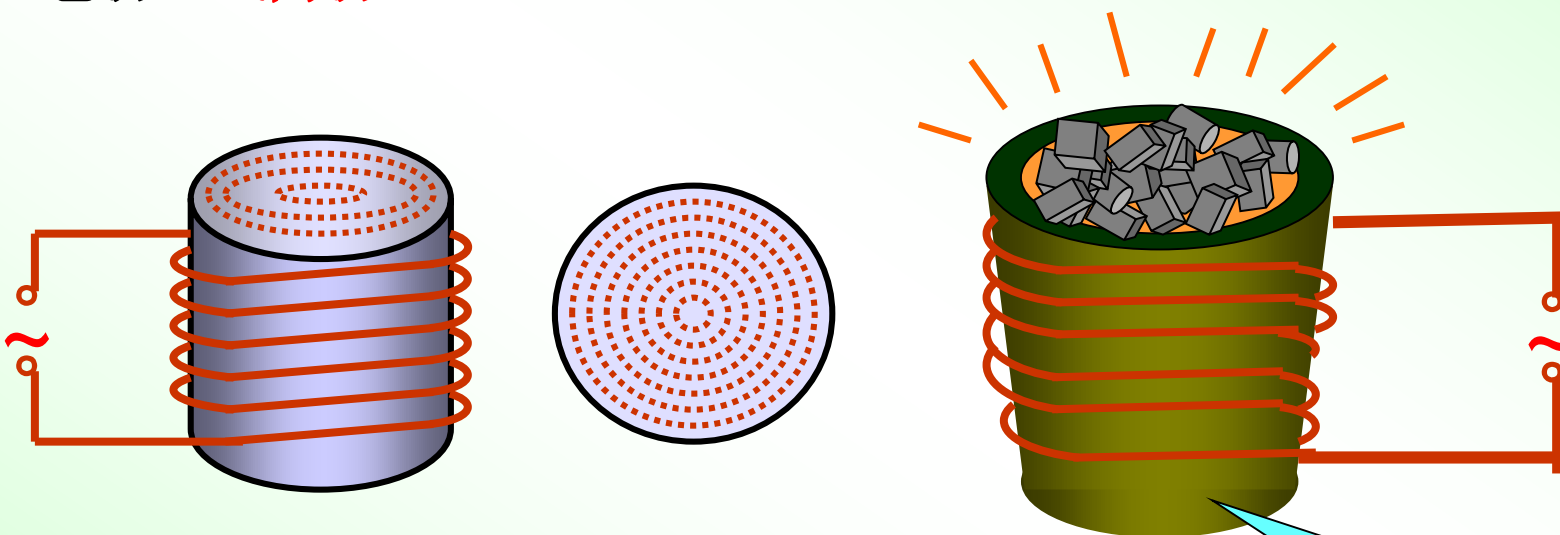


加速器的成功证实了  
感应电场的客观存在.

**问题：** 为什么在电流  $I$  的每一个变化周期里，  
只有前1/4周期是在给电子加速？

## (2) 涡流 —— 高频电磁感应炉

将导体块放置在 $\vec{E}_i$ 中, 则在导体中将产生环形电流→**涡流**。



另外, 金属探测器; 探雷器...

**注:**

涡流还是有害的, 它不仅消耗电功率, 而且降低设备能量利用效率。

坩埚

**例：**将半径为 $a$ 、厚为 $h$ 、电导率为 $\sigma$ 的金属圆盘，同轴放置在轴对称匀强磁场 $\vec{B}$ 中，且 $\frac{dB}{dt} > 0$ 。  
求圆盘上的电流强度及产生的热功率。

**解：**取半径为 $r$ ，厚度为 $dr$ 的圆筒，其电动势

$$d\varepsilon_i = -\frac{d\phi}{dt} = -\frac{d}{dt}(B \cdot \pi r^2) = -\pi r^2 \frac{dB}{dt}$$

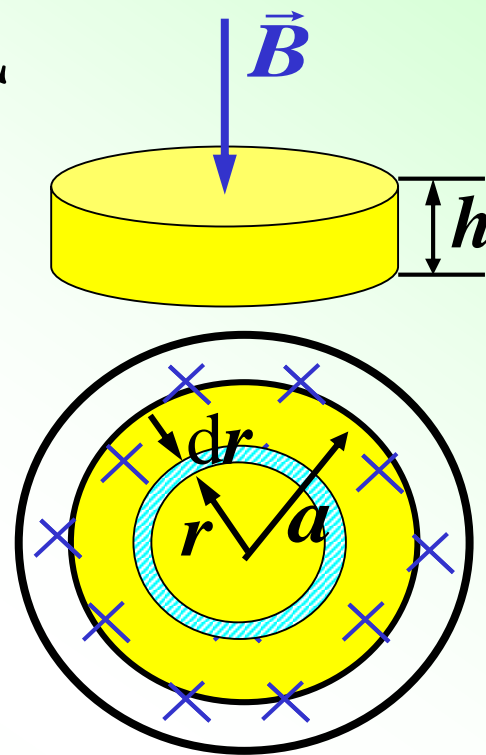
$$\text{其上电阻为： } R = \frac{2\pi r}{\sigma \cdot h \cdot dr}$$

$$\text{电流为： } dI_i = \frac{d\varepsilon_i}{R} = -\frac{r}{2} \sigma h \frac{dB}{dt} dr$$

$$\text{总电流： } I_i = \int dI_i = -\frac{1}{4} a^2 \sigma h \frac{dB}{dt}$$

产生的热功率：

$$P = \int dP = \int R(dI_i)^2 = \frac{1}{8} \pi \sigma h a^4 \left( \frac{dB}{dt} \right)^2$$



## 4. 感应电场的特点、性质

感应电场  $\vec{E}_i$  的特点:

1)  $\vec{E}_i$  与  $\vec{E}_e$  一样, 对场中的电荷有电场力的作用。

$$\vec{E}_i = \frac{\vec{F}}{q} \quad \vec{F} = q\vec{E}_i$$

2)  $\vec{E}_i$  的产生不依赖空间是否有导体存在,  
只要  $d\vec{B}/dt \neq 0$  就行。

只要磁场变化, 真空、介质中都可以激发感应电场。

3) 不仅在磁场分布范围内  $\vec{E}_i$  的方向与  $\vec{\epsilon}_i$  基本一致,  
有感应电场, 之外也有。可用楞次定律判断。

4)  $\vec{E}_i$  是非保守力场,  $\oint \vec{E}_i \cdot d\vec{l} \neq 0$

$\vec{E}_i$  场中不能引入电势概念,

其电场线是无头无尾的闭合曲线~~故也称为涡旋电场。



# 感应电场 $\vec{E}_i$ 与静电场 $\vec{E}_e$ 的异同：

相同处：对电荷的作用相同。

不同处

$$\oint \vec{E}_e \cdot d\vec{s} = \frac{1}{\epsilon_0} \sum q_i \quad \text{有源}$$

$$\oint \vec{E}_i \cdot d\vec{s} = 0 \quad \text{无源}$$

$$\oint \vec{E}_e \cdot d\vec{l} = 0 \quad \text{无旋}$$

$$\oint \vec{E}_i \cdot d\vec{l} = - \int \frac{\partial \vec{B}}{\partial t} \cdot d\vec{s} \quad \text{有旋}$$

保守场 → 电势

非保守场

# $\vec{E}_e$ 与 $\vec{E}_i$ 的比较

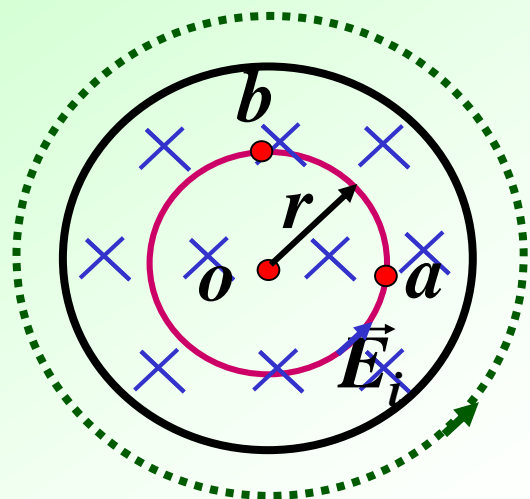
静电场	感应电场
对场中的电荷有力的作用	同静电场
由静止的电荷激发	由变化的磁场激发
使导体内电荷移动产生静电感应，平衡时内部场强为零，导体是等位体不能形成持续电流。	使导体内电荷移动产生电磁感应，导体内产生感应电动势 —— 感应电流。
场方程 $\left\{ \begin{array}{l} \oint_s \vec{E}_e \cdot d\vec{s} = \sum_i q_i / \epsilon_0 \neq 0 \\ \oint_L \vec{E}_e \cdot d\vec{l} \equiv 0 \end{array} \right.$ <div>有源场</div> <div>无旋场</div>	场方程 $\left\{ \begin{array}{l} \oint_s \vec{E}_i \cdot d\vec{s} = 0 \\ \oint_L \vec{E}_i \cdot d\vec{l} = -\frac{d\phi}{dt} = -\int_s \frac{\partial \vec{B}}{\partial t} \cdot d\vec{s} \neq 0 \end{array} \right.$ <div>无源场</div> <div>有旋场</div>
电力线不闭合	电力线闭合
保守场、可以引入电位	非保守场、不能引入电位

# 5. $\vec{E}_i$ 的计算 一般情况下的 $\vec{E}_i$ 的计算

$$\oint \vec{E}_i \cdot d\vec{l} = - \int \frac{\partial \vec{B}}{\partial t} \cdot d\vec{s}$$

**例:** 求一个轴对称磁场变化时的涡旋电场分布在半径为  $R$  的范围内,  $dB/dt = \text{常量}$ , 而且大于零。

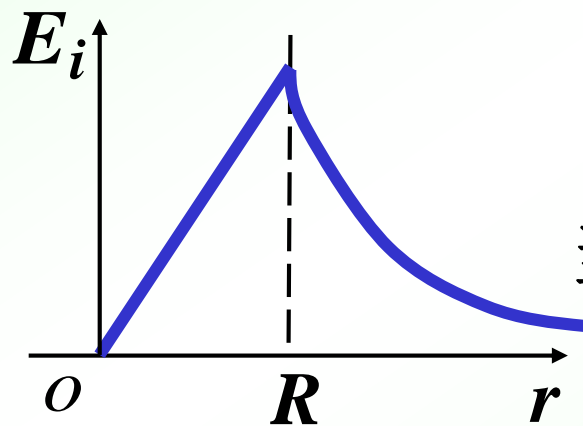
- 求: 1) 任意距中心  $o$  为  $r$  处的  $\vec{E}_i = ?$   
 2) 计算将单位正电荷从  $a \rightarrow b$ ,  $\vec{E}_i$  的功。



**解:** 1) 由  $\vec{B}$  的均匀及柱对称性可知, 在同一圆周上  $\vec{E}_i$  的大小相等, 且沿切线方向, 取半径为  $r$  的电力线为积分路径, 方向为逆时针方向:

$$\begin{aligned} \text{当 } r < R \text{ 时: } \oint \vec{E}_i \cdot d\vec{l} &= E_i \cdot 2\pi r \\ - \int \frac{\partial \vec{B}}{\partial t} \cdot d\vec{s} &= - \frac{dB}{dt} \cdot (-\pi r^2) \end{aligned} \quad \left. \vphantom{\begin{aligned} \oint \vec{E}_i \cdot d\vec{l} &= E_i \cdot 2\pi r \\ - \int \frac{\partial \vec{B}}{\partial t} \cdot d\vec{s} &= - \frac{dB}{dt} \cdot (-\pi r^2) \end{aligned}} \right\} E_i = \frac{r}{2} \frac{dB}{dt}$$

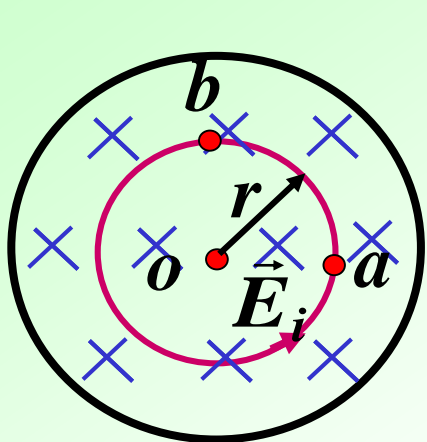
$$\begin{aligned} \text{当 } r > R \text{ 时: } \oint \vec{E}_i \cdot d\vec{l} &= E_i \cdot 2\pi r \\ - \int \frac{\partial \vec{B}}{\partial t} \cdot d\vec{s} &= \frac{dB}{dt} \pi R^2 \end{aligned} \quad \left. \vphantom{\begin{aligned} \oint \vec{E}_i \cdot d\vec{l} &= E_i \cdot 2\pi r \\ - \int \frac{\partial \vec{B}}{\partial t} \cdot d\vec{s} &= \frac{dB}{dt} \pi R^2 \end{aligned}} \right\} E_i = \frac{R^2}{2r} \frac{dB}{dt}$$



2) 沿1/4圆周将单位正电荷从 $a \rightarrow b$ ,  $\vec{E}_i$ 做功



$$E_i = \frac{r}{2} \frac{dB}{dt}$$



$$A_{\frac{1}{4}ab} = \int \vec{E}_i \cdot d\vec{l} = \int_0^{\frac{\pi r}{2}} \frac{r}{2} \frac{dB}{dt} \cdot dl = \frac{\pi}{4} r^2 \frac{dB}{dt}$$

沿3/4圆周 $\vec{E}_i$ 做功

$$A_{\frac{3}{4}ab} = \int \vec{E}_i \cdot d\vec{l} = - \int_0^{\frac{3\pi r}{2}} \frac{r}{2} \frac{dB}{dt} \cdot dl = - \frac{3\pi}{4} r^2 \frac{dB}{dt}$$

结论:

1)  $E_i \propto dB/dt$ , 与 $B$ 大小无关

2)  $r > R$ , 磁场外 $E_i \neq 0$ 。

3)  $A_{\frac{1}{4}ab} \neq A_{\frac{3}{4}ab}$

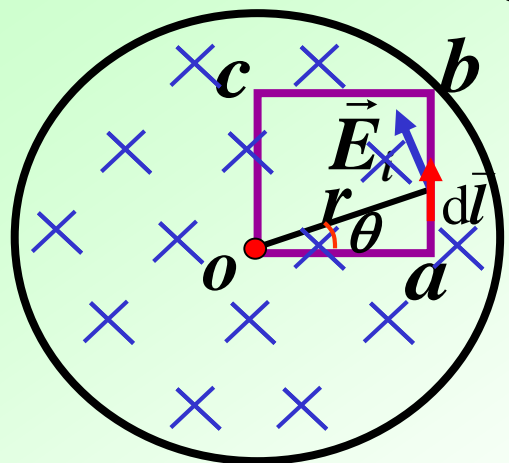
即: $\vec{E}_i$ 做功与路径有关——非保守场

**例：**在上例的磁场中，放入一边长为 $L$ 的正方形导体回路 $oabc$ 。

求：1) 回路各边的感应电动势； 2)  $\mathcal{E}_{i\text{总}}$ ；


3) 回路内有静电场吗？


若有， $c$ 与 $a$ 哪点电势高？



**解：** 1)  $\because oa \perp \vec{E}_i$   
 $oc \perp \vec{E}_i$  }  $\therefore \mathcal{E}_{oa} = \mathcal{E}_{oc} = 0$

$$\begin{aligned}\mathcal{E}_{ab} &= \int_a^b \vec{E}_i \cdot d\vec{l} = \int_a^b E \cos \theta dl = \int_a^b \frac{r}{2} \frac{dB}{dt} \cos \theta dl \\ &= \int_a^b \frac{L}{2} \frac{dB}{dt} dl = \frac{1}{2} \frac{dB}{dt} L^2\end{aligned}$$

  $\mathcal{E}_i = \int_{-}^{+} \vec{E}_i \cdot d\vec{l}$

  $E_i = \frac{r}{2} \frac{dB}{dt}$

同理  $\mathcal{E}_{bc} = \frac{1}{2} \frac{dB}{dt} L^2$

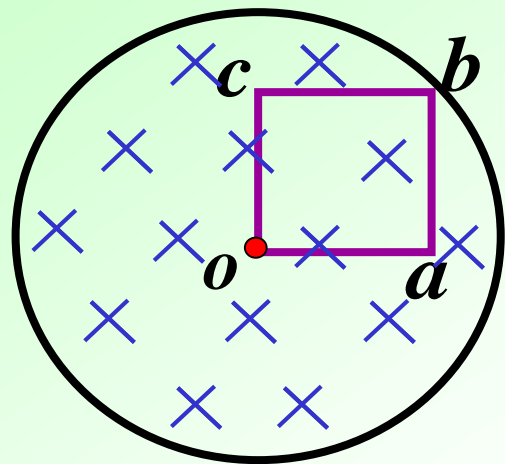
2)  $\mathcal{E}_{i\text{总}} = \mathcal{E}_{ab} + \mathcal{E}_{bc} = L^2 dB/dt,$

或  $\mathcal{E}_{i\text{总}} = -d\phi/dt = -\frac{d}{dt}(\vec{B} \cdot \vec{s}) = s \frac{dB}{dt} = L^2 \frac{dB}{dt}$

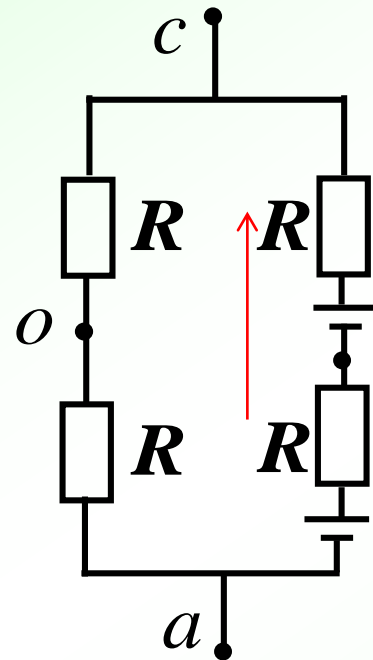
**注：**根据对称性：1)、2)的计算可以倒过来进行。



### 3) 有静电场。电荷积累在哪?



等效电路



$$\varepsilon_{ab} = \varepsilon_{bc} = \frac{1}{2} \frac{dB}{dt} L^2$$

$\because \varepsilon_{oa} = \varepsilon_{oc} = 0$ ,  
 $\varepsilon_{ab}, \varepsilon_{bc}$  会使  
 正电荷在  $c$  点  
 聚集, 而  $a$  点有  
 负电荷积累.

$$\therefore V_c > V_a$$

另, 可考虑从  $a$  到  $c$  的电势变化:

$$V_a + |\varepsilon_{ab}| - iR + |\varepsilon_{bc}| - iR = V_c$$

$$V_a - V_c = 2iR - 2|\varepsilon_{ab}|$$

$$i = \frac{2|\varepsilon_{ab}|}{4R}$$

$$V_a - V_c = |\varepsilon_{ab}| - 2|\varepsilon_{ab}| = -|\varepsilon_{ab}| < 0$$

$$\therefore V_c > V_a$$

**例：**在上例的磁场的磁场中，放有四根导体棒。

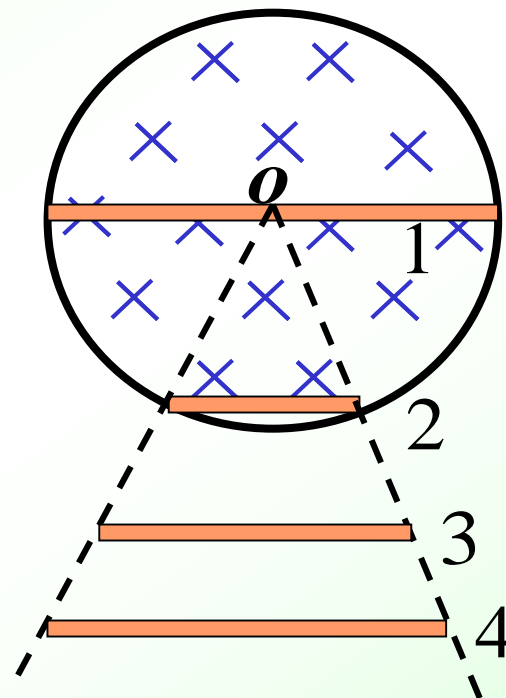
- 1) 比较各棒中的 $\varepsilon_i$ 。
- 2) 3, 4连成通路 $I_i=?$
- 3) 棒中哪端电势高？

**解：**

1)  $\varepsilon_3 = \varepsilon_4 > \varepsilon_2 > \varepsilon_1 = 0$

2)  $I_i = 0$

3)  $V_{\text{右}} > V_{\text{左}}$



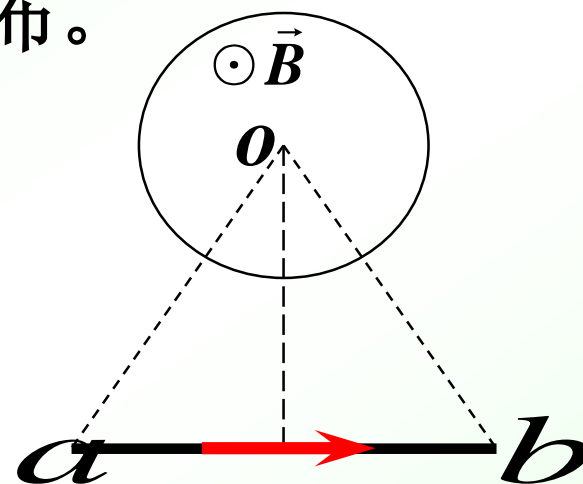
**问题：**

还有什么样的情况可以得到感应电场的解析表达式？

**例：**磁力线限制在圆柱体内，沿轴向均匀分布。

$$\frac{dB}{dt}=c, \text{ 求: } \mathcal{E}_{ab}$$

**解：**补上半径  $oa, ob$ ,  
设回路方向如图。



$$\mathcal{E}_{oabo} = \mathcal{E}_{oa} + \mathcal{E}_{ab} + \mathcal{E}_{bo} = -\frac{d\phi}{dt}$$

$$\mathcal{E}_{oa} = 0, \mathcal{E}_{bo} = 0$$

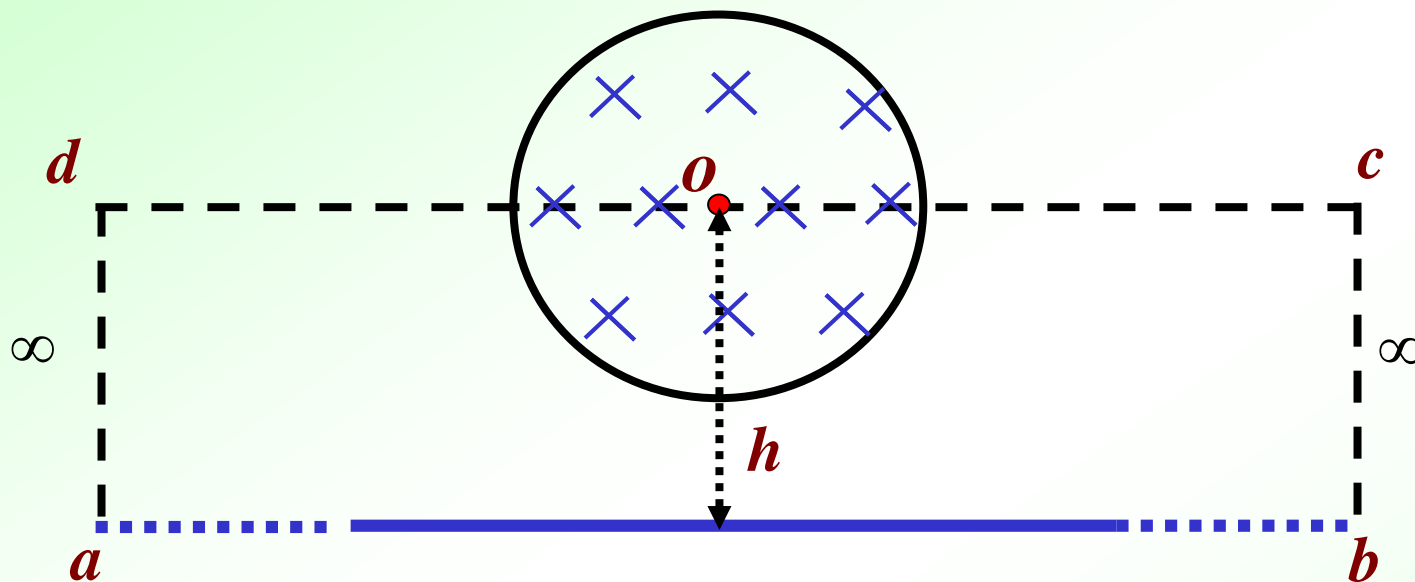
$$\mathcal{E}_{ab} = -\frac{d\phi}{dt}$$

$$\phi = BS_{\text{扇形}}$$

$$\mathcal{E}_{ab} = -S_{\text{扇形}} \frac{dB}{dt}$$

若  $ab$  无限长呢？

**例：**磁场均匀分布在半径为 $R$ 的范围， $\mathrm{d}B/\mathrm{d}t=\text{常量}$ ，且大于零。求无限长直导线 $ab$ 上的电动势。



**解：**由 $\vec{B}$ 的均匀及柱对称性可知，在同一圆周上 $\vec{E}_i$ 的大小相等，方向**沿切线方向**。当 $r > R$ 时， $E_i = \frac{R^2}{2r} \frac{\mathrm{d}B}{\mathrm{d}t}$

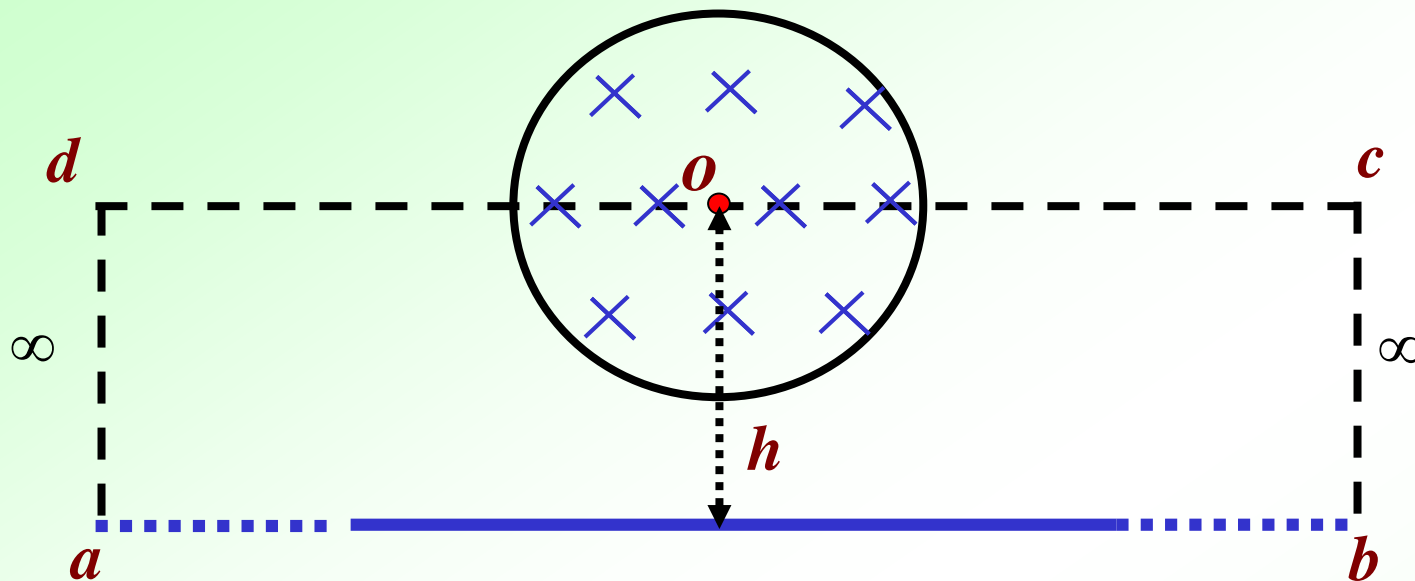


$$\mathcal{E}_i = \int_{-}^{+} \vec{E}_i \cdot \mathrm{d}\vec{l}$$

另解：

取如图所示的矩形回路。

$$\mathcal{E}_{ab} = \mathcal{E} = -\frac{\mathrm{d}\phi}{\mathrm{d}t}$$



**解：** 考虑回路 $abcd$  ,  $\varepsilon_{abcd} = \varepsilon_{ab} + \varepsilon_{bc} + \varepsilon_{cd} + \varepsilon_{da}$  ,

而  $\varepsilon_{bc} = \varepsilon_{cd} = \varepsilon_{da} = 0$  ,

故  $\varepsilon_{ab} = \varepsilon_{abcd} = -d\phi/dt = -(\pi R^2/2)dB/dt$

方向：由楞次定律知 $a \rightarrow b$

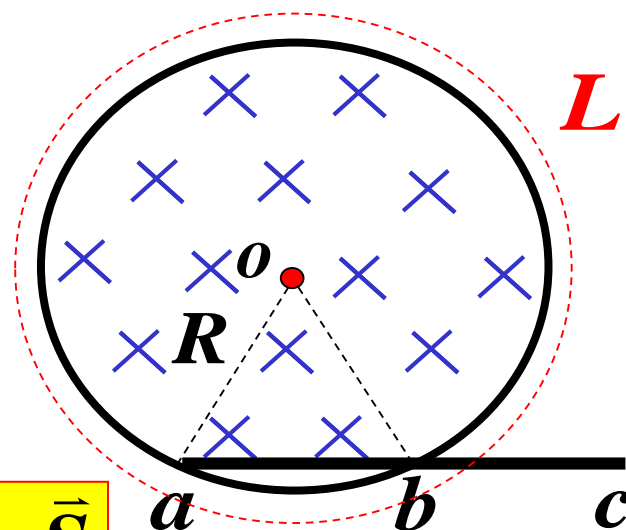


**例:** 在半径为 $R$ 的圆形区域内，有垂直向里的均匀磁场正在减小。有一金属棒 $abc$ 放在图示位置，已知 $ab=bc=R$ ，求（1） $a$ 、 $b$ 、 $c$ 三点感应电场的大小和方向（在图上标出）；（2）棒上感应电动势 $\varepsilon_{abc}$ 为多大；（3） $a$ 、 $c$ 哪点电势高。

**解:** (1)  $\oint \vec{E}_i \cdot d\vec{l} = -\int \frac{\partial \vec{B}}{\partial t} \cdot d\vec{s} \quad (= -\frac{d\phi}{dt})$

取回路 $L$ ，且绕行方向为顺时针。

由楞次规律知，感应电场的方向是顺时针沿 $L$ 回路。



由对称性知， $\oint \vec{E}_i \cdot d\vec{l} = E_i \cdot 2\pi r$

$$\phi = \vec{B} \cdot \vec{S}$$

$$-\int \frac{\partial \vec{B}}{\partial t} \cdot d\vec{s} = -\frac{dB}{dt} \cdot \pi R^2$$

$$\rightarrow E_i = -\frac{R^2}{2r} \frac{dB}{dt}$$

**例:** 在半径为 $R$ 的圆形区域内, 有垂直向里的均匀磁场正在速减小。有一金属棒 $abc$ 放在图示位置, 已知 $ab=bc=R$ , 求

(1)  $a$ 、 $b$ 、 $c$ 三点感应电场的大小和方向 (在图上标出);

(2) 棒上感应电动势  $\mathcal{E}_{abc}$  为多大; (3)  $a$ 、 $c$  哪点电势高。

**(3)  $a$  点电势高。(正极高)**

**解:**  $E_a = E_b = -\frac{R}{2} \frac{dB}{dt}$

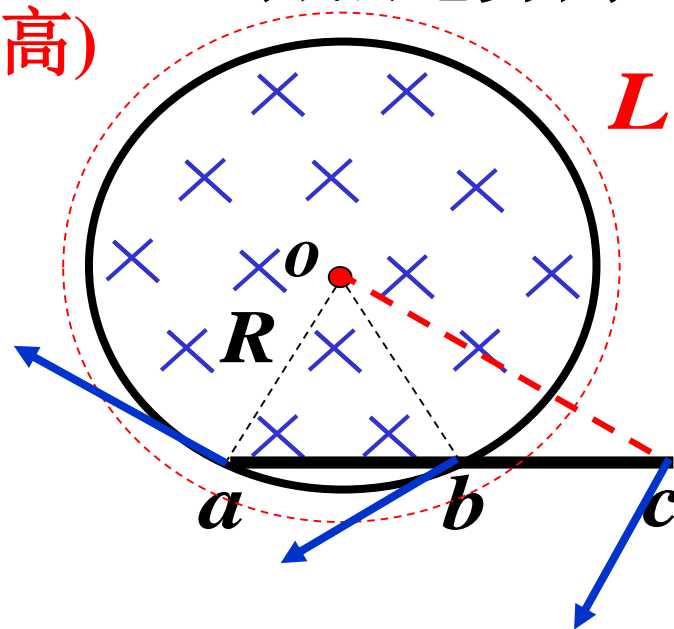
$$E_c = -\frac{R^2}{2\sqrt{3}R} \frac{dB}{dt} = -\frac{R}{2\sqrt{3}} \frac{dB}{dt}$$

感应电场的方向如图所示。

(2)  $\mathcal{E}_{abc} = \mathcal{E}_{ab} + \mathcal{E}_{bc}$

分别对 $oab$ 、 $obc$ 回路应用

$\mathcal{E}_i = -\frac{d\phi}{dt}$  即可。或直接考虑 $oac$ 回路。



$$E_i = -\frac{R^2}{2r} \frac{dB}{dt}$$

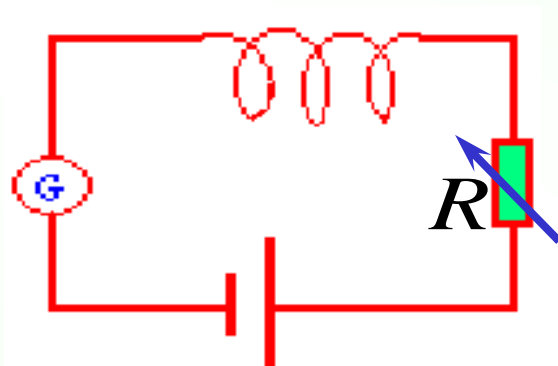
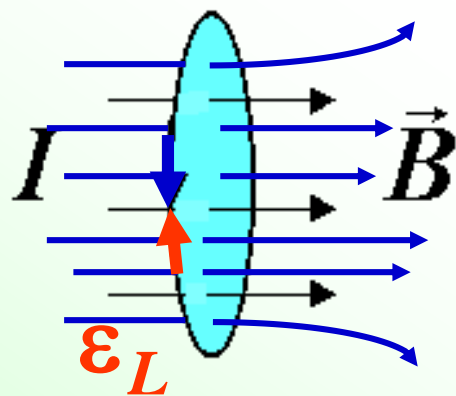
## 五. 自感与互感

### 1、自感（也称自感应）

由于通电线圈中电流发生变化导致电流产生的磁通量发生变化，而在线圈自身产生感应电动势的现象(自感)。



$$\vec{B} = \int \frac{\mu_0}{4\pi} \frac{I d\vec{l} \times \hat{r}}{r^2}$$



$$\epsilon_L = -\frac{d\phi}{dt}$$

$$\epsilon_L = -N \frac{d\phi}{dt} = -\frac{d\psi}{dt}$$

#### (1) 自感电动势的大小

若回路中通有电流  $I$ ，几何形状不变，空间没有铁磁质，根据毕奥—萨伐尔定律：

$$B \propto I, \phi \propto I, \psi \propto I$$

$$\rightarrow \psi = LI$$

$L$ 称为自感系数、电感、自感



$$\psi = LI$$

对一定几何形状的线圈，在一定的磁介质中（除铁磁质外）  
 $L$  是常量。（ $L$  只与线圈几何形状和周围的磁介质有关，与电流无关）

演示：自感  $L$  与磁导率  $\mu$  的关系

$$\varepsilon_L = -\frac{d\psi}{dt} = -\left(L\frac{dI}{dt} + I\frac{dL}{dt}\right)$$

$L$  为常量时：

$$\varepsilon_L = -L\frac{dI}{dt}$$

(2) 自感电动势的方向：反抗回路中电流的改变

{ 电流增加时，自感电动势与原电流方向相反  
{ 电流减小时，自感电动势与原电流方向相同

(3) 自感系数 “ $L$ ” 的定义：

$$\left\{ \begin{array}{l} L = \psi / I \quad (\text{普适}) \\ L = \left| -\frac{\varepsilon_L}{dI/dt} \right| \quad (\text{仅 } L \text{ 为常量时}) \end{array} \right.$$

$L$  的单位：亨利 (H)

$$1 \text{ H} = 1000 \text{ m H} = 10^6 \mu\text{H}$$

**注意：**

(1) “ $L$ ”的两个定义式只有在  $L$  是常量时是一致的。

(2) “ $L$ ”是线圈**电磁惯性**的量度。

$$\left\{ \begin{array}{l} F=ma \\ \mathcal{E}_L=-L\frac{dI}{dt} \end{array} \right.$$

**(4)**自感系数  $L$  的计算：

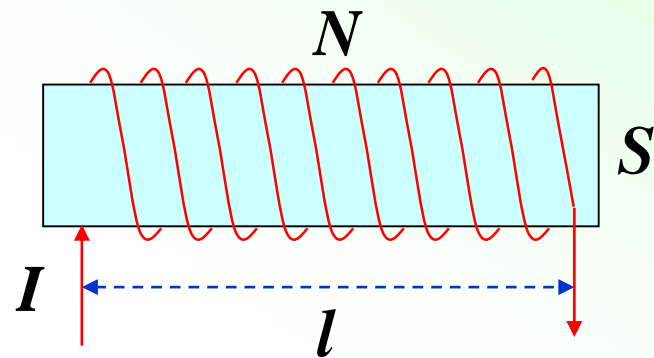
**例：**求细长直螺线管的自感系数 ( $l$ 、 $S$ 、 $N$ )

假定螺线管通入电流  $I$ ，因管中各处的  $\vec{B}$  是均匀的。

$$\psi = N\phi = NBS = N\mu_0 nIS = \mu_0 IS \frac{N^2}{l}$$

真空中 
$$L = \frac{\psi}{I} = \mu_0 S \frac{N^2}{l} = \mu_0 n^2 V_{\text{体}}$$

介质中  $\mu_0 \rightarrow \mu_0 \mu_r$



$$L = \frac{\psi}{I}$$

**注意：** (1) 铁磁质不能用上式计算

(2) 不仅线圈有自感，任何电路都有